

## О ВОЗМОЖНОСТИ ПОЛНОЙ КОМПЕНСАЦИИ НЕЛИНЕЙНЫХ ИСКАЖЕНИЙ СВЕТОВОГО ПУЧКА С ПОМОЩЬЮ ОБРАЩЕНИЯ ЕГО ВОЛНОВОГО ФРОНТА<sup>1)</sup>

Л.А.Большов, Д.В.Власов, М.А.Дыхне,  
В.В.Коробкин, Х.Ш.Саидов, А.Н.Старостин

Экспериментально и теоретически установлено, что нелинейные искажения светового пучка, вообще говоря, препятствуют ОВФ, однако, при определенных условиях возможна полная компенсация нелинейных искажений и подавление самовозбуждения встречных волн с помощью ОВФ.

Вопрос о взаимном влиянии самофокусировки и обращения волнового фронта (ОВФ) представляется в настоящее время весьма актуальным в связи с непрерывно расширяющейся областью приложений явления ОВФ [1 – 3]. Особо остро этот вопрос стоит в экспериментах по формированию световых пучков в мощных лазерных установках. Кроме того, крайне важный вопрос о степени воспроизведения, при использовании для ОВФ в качестве бриллюэновского зеркала (БЗ) конденсированной среды обладающей, в общем случае, кубичной нелинейностью,

<sup>1)</sup> Результаты этой работы впервые докладывались на Всесоюзной конференции "Оптика лазеров 80", Ленинград, 3 – 7 января 1980 г.

насколько нам известно, в литературе не обсуждался, хотя экспериментально наблюдалось [4], что в определенных условиях самофокусировка стоксовой волны при ВКР препятствует восстановлению изображения.

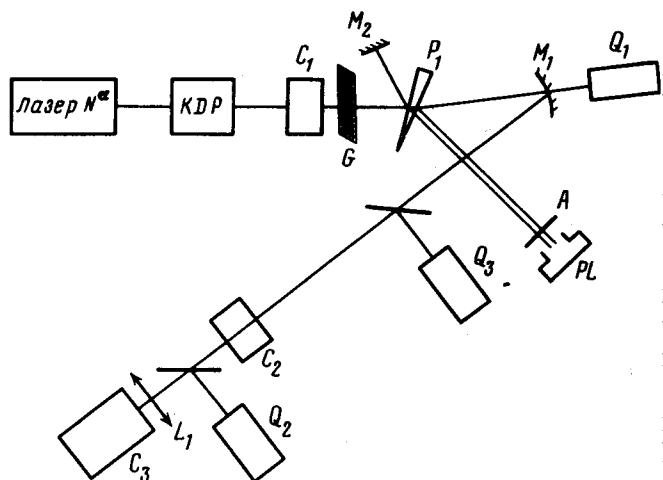


Рис. 1. Схема экспериментальной установки. Лазер на неодимовом стекле состоял из задающего генератора, работающего в режиме пассивной модуляции добротности (длительность импульса 30 нсек) на одной продольной и одной поперечной моде и шестикаскадного усилителя с энергией на выходе  $\sim 10$  Дж. Излучение неодимового лазера преобразовывалось во

вторую гармонику на кристалле KDP. Излучение второй гармоники с энергией до 2 Дж проходило через кювету  $C_1$  с раствором медного купороса и поступало на схему измерений.  $G$  — гексагональная решетка,  $M_1$  — 100%-ное зеркало с радиусом кривизны 3 м,  $M_2$  — плоское зеркало,  $Q_1$ ,  $Q_2$ ,  $Q_3$  — калиметры,  $C_2$  — кювета с  $CS_2$  длиной  $L = 2$  см,  $C_3$  — кювета с  $CCl_4$  длиной 20 см,  $P_1$  — стеклянный клин,  $A$  — набор светофильтров,  $PL$  — фотоаппарат для регистрации распределения интенсивности в ближней зоне. Расстояние между кюветами  $C_2$  и  $C_3$  не превышало 10 см, поэтому взаимодействие волн в кювете  $C_2$  можно считать стационарным.

Для этого, чтобы отделить в эксперименте влияние самофокусировки на ОВФ от других возможных искажений волнового фронта в БЗ, представляется целесообразным исследовать взаимосвязь этих явлений в схеме (рис. 1), где ОВФ реализуется в жидкости  $CCl_4$  с малой нелинейностью (кувета  $C_3$ ), а нелинейные искажения возникают при прохождении падающей  $E_+$  и отраженной  $E_-$  волн через кювету  $C_2$  с сильно нелинейным веществом  $CS_2$ . В экспериментах исследовалось обращение изображения гексагональной решетки  $G$  с периодом 1 мм и прозрачностью 60%. Мощный световой пучок модулировался решеткой, проходил через нелинейную среду  $C_2$  отражался от БЗ ( $C_3$ ,  $L$ ), вновь проходил через нелинейную среду и направлялся на фотопластинку  $PL$ . ВРМБ в кювете  $C_2$  контролировалось путем сравнения показаний калиметров  $Q_2$  и  $Q_3$  и в излагаемых ниже экспериментах не возбуждалось. На рис. 2 приведено распределение интенсивности в ближней зоне без нелинейной среды (в отсутствие кюветы  $C_2$ ) причем структура изображения полностью сохранялась при изменении мощности накачки от 4 до 25 МВт. При наличии кюветы  $C_2$  структура изображения существенно зависела от мощности накачки и коэффициента отражения БЗ  $R = |E_-| / |E_+|$ . В слабом поле накачки (рис. 3, а) с интегралом распада

$B = k(n_2/2n_0)|E_+|^2L = 0,2$  заметны слабые нелинейные искажения структуры изображения. При увеличении мощности (рис. 3,б) и соответствующем увеличении  $B$  до 0,5 в распределении интенсивности пучка структура изображения исчезает. Однако при дальнейшем увеличении интенсивности накачки (и эффективности отражения БЗ), при значениях  $R$  близких к единице структура изображения центральной части пучка восстанавливается (рис. 3,в). В этом случае энергетический коэффициент отражения (измеренный по показаниям калориметров  $Q_1, Q_2, Q_3$ ) достигал 40%. Измерения длительности лазерного ( $\tau_L \sim 20$  нсек) и бриллюзновского ( $\tau_s \sim 8,5$  нсек) импульсов выполненные на скоростном осциллографе С-8-12 дают коэффициент отражения  $\sim 1$  в максимуме импульса.

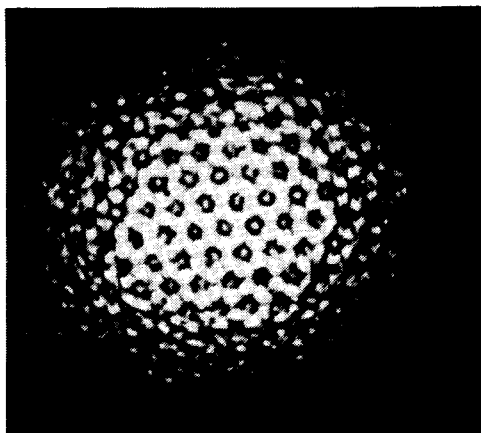


Рис. 2. Распределение интенсивности света ВРМБ в ближней зоне в отсутствие кюветы с  $CS_2$ .

Для анализа приведенных экспериментальных результатов запишем систему известных квазиоптических уравнений, описывающую нелинейные искажения в кювете  $C_2$ :

$$\pm 2ik \frac{\partial E_{\pm}}{\partial z} + \Delta_{\perp} E_{\pm} + k^2 \frac{n_2}{n_0} (|E_{\pm}|^2 + p|E_{\mp}|^2) E_{\pm} = 0 \quad (1)$$

$$+ 2ik \frac{\partial E_{\mp}}{\partial z} + \Delta_{\perp} E_{\mp} + k^2 \frac{n_2}{n_0} (|E_{\pm}|^2 + p|E_{\mp}|^2) E_{\mp} = 0 \quad (2)$$

здесь показатель преломления  $n = n_0 + (1/2)n_2|E|^2$ ,  $k$  – волновое число в среде. Различием волновых чисел волн  $E_+$  и  $E_-$  на длине взаимодействия можно пренебречь,  $p = 0$  в случае неперекрывающихся в среде импульсов; величина  $p - 1$  характеризует относительный вклад быстрого по сравнению со сдвигом частоты волн  $E_+$  и  $E_-$  механизма нелинейности в  $n_2$ . Несимметрия нелинейных поляризаций в (1) и (2) связана с параметрическим взаимодействием волн, которое важно, если периодическая модуляция показателя преломления, вызванная интерференцией волн успевает устанавливаться. При  $p = 1$  уравнения для  $E_+$  и  $E_-$  совпадают (см. (1) и (2)), поэтому, если  $E_- = RE_+$  хотя бы в одной плоскости, например, на выходе из нелинейной среды, то это равенство выполняется во всех плоскостях, в том числе и на входе в нее. Таким образом, если  $E_-$  возникает при ОВФ, нелинейные искажения полностью компенсируются для любого  $R$ . При  $p \neq 1$  (в частности при  $p = 0$  и при  $p = 2$ ) указанная симметрия уравнений существует

ет только при полном обращении волнового фронта с  $R = 1$ <sup>1)</sup>. Симметрия уравнений (1) и (2) при  $R = 1$  может качественно объяснить восстановление изображения при повышении мощности накачки (рис. 3,  $\delta$ ) однако, при этом следует доказать устойчивость режима полной компенсации нелинейных искажений при отклонении  $R$  и степени воспроизведения от единицы. Поскольку основная доля энергии пучка после решетки содержится в нулевом порядке, систему уравнений (1) и (2) можно линеаризовать относительно малых возмущений  $u$  и  $v$ , вносимых в  $E_+$  и  $E_-$  соответственно, которые в свою очередь, можно заменить плоскими волнами при  $B \sim 1$  и  $kL/a^2 \ll 1$ . При этом каждая плоская компонента возмущений  $\sim \cos k\vec{r}_\perp$  или  $\sin k\vec{r}_\perp$  развивается независимо.

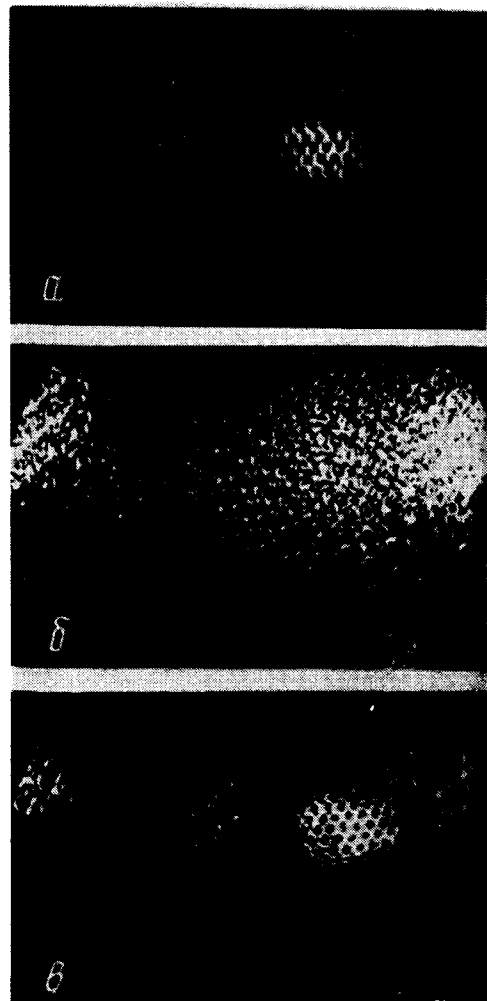


Рис. 3. Зависимость структуры изображения решетки в ближней зоне от интенсивности накачки и коэффициента отражения от БЗ.  
 $\alpha$  – Интенсивность накачки  $W_L = 5,6$  МВт, интеграл распада  $B = 0,2$ , коэффициент отражения от БЗ  $R \approx 0,22$ ;  $\beta$  –  $W_L = 12,6$  МВт,  $B = 0,5$ ,  $R \approx 0,35$ ;  $\gamma$  –  $W_L = 17$  МВт,  $B = 0,7$ ,  $R \approx 0,9$

<sup>1)</sup>На симметрию уравнений (1) и (2) в линейной среде ( $n_2 = 0$ ) в связи с проблемой ОВФ указывалось в пионерской работе [5].

<sup>2)</sup>Эта симметрия сохраняется и при учете членов, описывающих усиление стоксовой волны  $E_-$  (и ослабление волны накачки  $E_+$ ) за счет вынужденного рассеяния ( $\pm ikg|E_\mp|^2 E_\pm$ ).

Принципиальное отличие постановки задачи от известных [6, 7] заключается в специфической связи возмущений прямой и обратной волн, попадающих в апертуру устройства осуществляющего ОВФ (БЗ в настоящем эксперименте):

$$v(L) = Mu(L) + N \quad (3)$$

здесь вещественная и мнимая часть возмущений представлены в виде двухкомпонентных векторов. Матрица  $M = \begin{bmatrix} a & 0 \\ 0 & -a \end{bmatrix}$  описывает отражение от БЗ<sup>1)</sup>. Вектор  $N$  описывает перерассеяние возмущений, не попадающих в апертуру БЗ, в данную плоскую компоненту, а также возмущения, появляющиеся за счет неточности воспроизведения в БЗ. В результате решения линеаризованной системы (1) и (2) с граничным условием (3)  $v(0)$  выражается через  $u(0)$  и  $N$ . При  $M = 0$  ответы совпадают с полученными в работе [7], однако, при  $M \neq 0$  результаты существенно отличаются. При  $N = 0$ ,  $a = R = 1$  возникает соотношение  $v(0) = u^*(0)$ , следующее непосредственно из симметрии (1) и (2). Линеаризованные уравнения (1), (2) имеют дополнительную симметрию при  $R \neq 1$  и  $a = a_0 = [\sqrt{(1+R^2)^2 + 4(p^2-1)R^2} + R^2 - 1]/2pR$  при этом  $v(0) = a_0 u^*(0)$ , независимо от поперечной структуры  $u(0)$ , что позволяет полностью компенсировать малые искажения и при  $R \neq 1$ . При исследовании устойчивости обоих режимов компенсации, детали которого будут опубликованы отдельно, следует отличать эволюцию малоугловых [7]  $(\kappa/k)^2 \sim n_2 |E|^2$  и широкоугловых  $(\kappa/k)^2 > n_2 |E|^2$  возмущений. Для широкоугловых компонент область устойчивости режима полной компенсации в наиболее неблагоприятной ситуации  $2B = \pi/p$  (соответствующей самовозбуждению встречных волн [6] можно оценить из асимптотического  $((1-R) \ll 1)$  выражения  $v(0) \sim N[1 - R/p + a]^{-2}$

Даже при  $R = 1$  наличие конечной степени воспроизведения препятствует самовозбуждению<sup>2)</sup>. Для малоугловых компонент требования к степени воспроизведения оказываются более жесткими. При  $R = a_0$  необходимо неравенство  $|a - a_0| \lesssim e^{-(p+1)B}$  с тем, чтобы искажения не нарастали существенно и самовозбуждения не происходило.

Отметим, что как следует из полученных нами результатов, в многоканальной лазерной системе состоящей из каскадов усиления и схем деления пучка, возможна, по-видимому компенсация нелинейных искажений с помощью ОВФ, например, при сохранении среднего уровня мощности вдоль пути каждого пучка. Действительно, если нелинейные искажения, возникающие на одном каскаде невелики, то можно усреднить коэффициент усиления вдоль пути пучка, а компенсация искажений будет происходить подобно тому, как и в настоящем экспе-

<sup>1)</sup> Величинами  $a$  и  $R$  можно управлять независимо, применяя наряду с любой, например, четырехфотонной схемой ОВФ, линейные усилители или ослабители различных угловых компонент, в том числе добиваясь режима.

<sup>2)</sup> Блики на рис. 3, в, по-видимому, связаны с самовозбуждением возмущений непопадающих в апертуру БЗ.

рименте. По-видимому, также могут быть достигнуты и высокие коэффициенты отражения при нерезонансном четырехфотонном обращении волнового фронта, поскольку показана возможность подавления самовозбуждения встречных волн препятствующего их реализации.

Авторы благодарны Ф.В.Бункину, С.Н.Власову, Г.А.Пасманику и В.И. Таланову за ряд полезных обсуждений.

Физический институт им. П.Н.Лебедева  
Академии наук СССР

Поступила в редакцию  
30 января 1980 г.

### Литература

- [ 1 ] Обращение волнового фронта оптического излучения в нелинейных средах. Сб. ИПФ АН СССР, г. Горький, 1979 г.
- [ 2 ] Ю.И.Кружилин. Письма в ЖТФ, 4, 176, 1978.
- [ 3 ] А.А.Ильюхин, Г.В.Перегудов, М.Е.Плоткин, Е.Н.Рагозин, В.А.Чирков. Письма в ЖЭТФ, 29, 364, 1979.
- [ 4 ] А.И.Соколовская, Г.Л.Бреховских, А.Д.Кудрявцева, Н.В.Окладников. Краткие сообщения по физике ФИ АН СССР, №7, 27, 1978.
- [ 5 ] Б.Я.Зельдович, В.И.Поповичев, В.В.Рагульский, Ф.С.Файзулов. Письма в ЖЭТФ, 15, 160, 1972.
- [ 6 ] A.Yariv, D.M.Pepper. Opt. Lett., 1, 16, 1977.
- [ 7 ] С.Н.Власов, В.И.Таланов. Сб. Обращение волнового фронта оптического излучения в нелинейных средах. ИПФ АН СССР г. Горький, 1979 г.